

Hinweis

Die vorliegende Lösung wurde im Rahmen der jeweiligen Lehrveranstaltung an der Universität Bonn erstellt. Sofern im oberen Teil der ersten Seite oder auf der unten angegebenen Webseite nicht anders vermerkt, wurde diese Lösung von mir, Marvin Zanke, alleine angefertigt und eingereicht. Bei allem in einer anderen Farbe als dem üblichen Blau handelt es sich in der Regel um Korrekturen von mir oder des Tutors. Für mehr Informationen und meine gesamten Unterlagen, siehe:

<https://www.physics-and-stuff.com/>

Ich erhebe keinen Anspruch auf Richtigkeit und Vollständigkeit der vorliegenden Lösungen! Dies gilt ebenso für obengenannte Korrekturen.

Dieses Werk von [Marvin Zanke](#) ist lizenziert unter einer [Creative Commons Namensnennung – Nicht-kommerziell – Weitergabe unter gleichen Bedingungen 4.0 International Lizenz.](#)

Physik IV Blatt 2

Marvin Zankel, Ulfing F., Florian

$$F. 1) m_r = \frac{m_p m_e}{m_e + m_p} = \frac{m_e^2}{2 m_e} = \frac{1}{2} m_e = 4,5547 \cdot 10^{-27} \text{ kg}$$

$$\text{mit } m_e = 9,109 \cdot 10^{-31} \text{ kg}, m_p = 1,67 \cdot 10^{-27} \text{ kg}$$

$$m_e + m_p = 1,67 \cdot 10^{-27} \text{ kg}$$

$$2). \text{ Hier gilt für Bohr, n: } v_n = \frac{1}{n} \frac{e^2}{4\pi \epsilon_0 \hbar} = \alpha \frac{c}{n}$$

$$v_1 = 2187691,25 \text{ m/s} = 7,2974 \cdot 10^5 \text{ m/s}$$

$$= \frac{1}{137} c \Rightarrow f = 1/137$$

$m_{r,H} = \frac{m_p m_e}{m_e + m_p} = \frac{m_p}{m_p + m_e} \cdot \frac{m_e}{m_e + m_p} \approx m_e$

Intervall

(logisch, da gleiche Ladungen)

$$\text{Mit } r_n = n^2 \cdot a_0 \text{ und } a_0 = \frac{1}{\alpha} \cdot \frac{\hbar}{mc} \text{ folgt:}$$

$$E_n = -\frac{1}{2} \frac{1}{n^2} \alpha^2 m c^2$$

Balmer Serie $n' > 2 \rightarrow n=2$

$$\Delta E = E_{n'} - E_n \quad (*)$$

$$E_{n,p} = -\frac{1}{2} \frac{1}{n^2} \alpha^2 \frac{1}{2} m_e c^2 = \frac{1}{2} E_{n,H}$$

$$\Rightarrow E_1 = -6,8 \text{ eV}, E_2 = -1,7 \text{ eV}$$

$$E_3 = -0,76 \text{ eV}, E_4 = -0,425 \text{ eV}$$

$$E_5 = -0,27, E_6 = -0,189 \text{ eV}$$

$$E_7 = -0,139 \text{ eV}, E_8 = -0,106 \text{ eV}$$

$$E_9 = -0,084 \text{ eV}$$

Balmer-Serie aus (*) : $\Delta E = h \cdot f = h \frac{c}{\lambda} = E_n + 1,7 \text{ eV}$

$$\Leftrightarrow \lambda = \frac{hc}{E_n + 1,7 \text{ eV}} \Rightarrow \underline{\lambda_3} = 1,319 \cdot 10^{-6} \text{ m} = 1319 \text{ nm} \checkmark$$

$$\lambda_4 = 9,724 \cdot 10^{-7} \text{ m} = 972,4 \text{ nm} \checkmark$$

$$\lambda_5 = 8,67 \cdot 10^{-7} \text{ m} = 867 \text{ nm} \checkmark$$

$$\lambda_6 = 8,205 \cdot 10^{-7} \text{ m} = 820 \text{ nm} \checkmark$$

$$\lambda_7 = 7,943 \cdot 10^{-7} \text{ m} = 794,3 \text{ nm} \checkmark$$

$$\lambda_8 = 777,8 \text{ nm}$$

$$\lambda_9 = 767,2 \text{ nm}$$

Gemeinsam ist dem Wasserstoffatom und Positronium, dass die Differenzen bzw. Abstände zwischen den Energieniveaus immer kleiner werden und damit auch die Abstände der emittierten Wellentypen. Außerdem beginnt das Emissionspektrum von Wasserstoff etwa im Infraroten in der Balmer-Féize und endet kurz nach den Ultravioletten. Beim Positronium sind wenn überhaupt ~~noch~~ die energiereichsten Übergänge der Balmer-Féize im Infrarot / Roten Bereich sichtbar, alle darüber liegen im nicht-sichtbaren 1000nm-Bereich.

Beim Positronium scheint das Elektron schwächer an das Proton gebunden als das Elektron an das Proton.

3) $V_n = \frac{1}{n} - \frac{e^2}{mc^2 n^2}$ und da $q_{\text{Pro}} = e, q_{\text{Ele}} = -e$ beim Wasserstoff und $q_{\text{Pos}} = e, q_{\text{Ele}} = -e$ beim Positronium, sind die Geschwindigkeiten gleich.

$$r_n = n^2 r_1 = n^2 \cdot \frac{1}{\alpha} \cdot \frac{\hbar}{mc} = n^2 \frac{1}{\alpha} \frac{\hbar}{m_e c} = n^2 \frac{1}{\alpha} \frac{\hbar}{m_e c} \cdot 2$$

\Rightarrow Die Bahnradien sind doppelt so groß wie beim Wasserstoff. Das erklärt anschaulich auch, dass die Energien der gebundenen Zustände genau halb so groß (halb so stark gebunden) sind.

II.



$\frac{dN_2}{dt} = -N_2 \cdot A_{21}$, da kein äußeres Feld vorhanden ist und damit keine Absorption und keine stimulierten Emissionen stattfindet.

$$\frac{dN_2}{N_2} = -A_{21} dt \Leftrightarrow \int \frac{1}{N_2} dN_2 = \int -A_{21} dt$$

$$\Leftrightarrow \ln(N_2) = -A_{21} t + C$$

$$\Leftrightarrow N_2(t) = e^{-A_{21} t + C} = C' \cdot e^{-A_{21} t}$$

Nun gilt noch $N_2(0) = C'$ und damit

$$N_2(t) = N_2(0) e^{-A_{21} t}$$

Da der Energiedistanz $h\omega_B$ ist, wird Licht der Frequenz $\omega_B = 2\pi f$ emittiert, also $f = \frac{\omega_B}{2\pi}$

$$h\omega_B = \frac{h}{2\pi} \omega_B = hf$$

$$2) F_N(\omega) = \frac{1}{\sqrt{2\pi}} \int dt f(t) e^{-it\omega} = \frac{1}{\sqrt{2\pi}} \int dt N_2(t) e^{-At - it\omega}$$

$$= \frac{1}{\sqrt{2\pi}} N_2(0) \int dt e^{-t(A_{21} + i\omega)}$$

$$= -\frac{1}{\sqrt{2\pi}} N_2(0) \frac{1}{A_{21} + i\omega} [e^{-t(A_{21} + i\omega)}]^\infty$$

$$\text{Da } f(t) = \begin{cases} N_2(0) e^{-At}, & t \geq 0 \\ 0, & \text{sonst} \end{cases}$$

um physikalisch Sinn zu machen \checkmark

$$= -\frac{1}{\sqrt{2\pi}} N_2(0) \frac{1}{A_{21} + i\omega} [e^{-t(A_{21} + i\omega)}]^\infty$$

$$= \frac{1}{\sqrt{2\pi}} \frac{N_2(0)}{A_{21} + i\omega} \checkmark = \frac{1}{\sqrt{2\pi}} N_2(0) \frac{1}{\Gamma^2 + \omega^2} \text{ Halbwertzeit } \Gamma$$

Nach Mathematica ergibt die Fourier-Transformierte von der Funktion allerdings: $P_N(\omega) = \sum_{n=1}^{\infty} S_n (\epsilon A_n + \omega) *$ | Plot ist hinweisend

Also nur einen Frequenzpeak bei ω_0 für $\epsilon \rightarrow 0$.
* ist mir auch passiert, KA wieso...

3. $\frac{dN_2}{dt} = B_{21} I (N_1 - N_2) - A_{21} N_2 = -\frac{dN_1}{dt}$ inhomogene Diffrg.
 $\frac{dN_2}{dt} = B_{21} I N_1 - B_{21} I N_2 - A_{21} N_2 = B_{21} I N_1 - N_2 (B_{21} I + A_{21})$

"Quelle Wikipedia": $\frac{dN_1}{dt} - \frac{dN_2}{dt} = -B_{21} I N_1 + B_{21} I N_2 + A_{21} N_2$
Idee: $\frac{d(N_1 - N_2)}{dt} = -B_{21} I N_1 + B_{21} I N_2 + 2A_{21} N_2$

$\Delta N = N_1 - N_2, \quad N = N_1 + N_2$

$\Rightarrow \frac{d\Delta N}{dt} = -2B_{21} I N_1 + 2B_{21} I N_2 + 2A_{21} N_2$

$\Delta N = N_1 - N_2, \quad N = N_1 + N_2$

$\Rightarrow \frac{d\Delta N}{dt} = -2B_{21} I (N_1 - N_2) + A_{21} (N_1 + N_2) - A_{21} (N_1 - N_2)$

Nun gilt im stationären Zustand: $\frac{d\Delta N}{dt} = 0$

$\Rightarrow 0 = -2B_{21} I \Delta N' + A_{21} N - A_{21} \Delta N'$
 $= \Delta N (-2B_{21} I - A_{21}) + A_{21} N$

$\Rightarrow A_{21} N = \Delta N' (2B_{21} I + A_{21})$

$\Leftrightarrow \Delta N = \frac{A_{21} N}{2B_{21} I + A_{21}} = \frac{A_{21}}{A_{21}} \cdot \frac{N}{2I \frac{B_{21}}{A_{21}} + 1}$
 $= \frac{N}{2I/I_S + 1} \geq 0$ mit $I_S = \frac{A_{21}}{B_{21}}$

Was passiert für $I \gg 1, I_S$? Diese Zahl ist immer größer 0, d.h. es ist keine Inversion möglich. Ein zwei-Niveau-Laser ist also nicht optimal.

Das liegt daran, dass $B_{12} = B_{21}$ und im Gleichgewichtsfall damit genau so wahrscheinlich emittiert (strahlt) wie absorbiert wird (wegen $N_1 = N_2$). Zusätzlich wird nach Spontanemission. Ist bei hohem I vernachlässigbar

(*) de.wikipedia.org/wiki/Laser#Zwei-Niveau-System

IV.1)

$\oplus e$
 $\oplus e$ $\mu = m_e$, da Kerne noch schwerer
 aus bei Proton

$$(*) \quad mvr = nh \quad \text{Quantenzahl Behr}$$

$$(**) \quad \frac{mv^2}{r} = \frac{1}{nhc_0} \cdot \frac{e \cdot z \cdot e}{r^2} \quad \text{Zentralkr.} = \text{Centr. Kr.}$$

$$(***) \quad E = \frac{1}{2}mv^2 - \frac{1}{nhc_0} \cdot \frac{e \cdot z \cdot e}{r} \quad \text{Energie } T + V$$

$$\text{Mit } (*) \text{ und } (**) \text{ gilt: } v_n = \frac{nh}{mc} = \frac{nh}{m} \cdot \frac{mv_n^2 \cdot 4\pi c_0}{e^2 c}$$

$$\Leftrightarrow v_n = \frac{eze}{4\pi c_0 h n} = \frac{1}{n} \frac{eze}{4\pi c_0 h}$$

$$\Rightarrow r_n = \frac{nh}{mv_n} = \frac{nh}{m} \cdot \frac{4\pi c_0 n}{eze} = n^2 \frac{h^2 4\pi c_0}{m eze}$$

$$\text{Nun folgt aus } (***) \text{ und } \frac{mv^2}{r} = \frac{mv^2}{r_n} = \frac{1}{2} \frac{eze}{h^2 (4\pi c_0)^2} = E_{\text{rot}}$$

$$\Rightarrow E_{\text{kin}} = -\frac{E_{\text{rot}}}{2} \stackrel{(**)}{\Rightarrow} E_n = -\frac{1}{2} \cdot \frac{1}{4\pi c_0} \cdot \frac{eze}{r_n} \quad \checkmark$$

$$= -\frac{1}{2} \frac{eze}{4\pi c_0} \cdot \frac{me^4 z^2}{n^2 h^2 4\pi c_0} = -\frac{1}{2} \frac{me^4 z^2}{h^2 (4\pi c_0)^2} \cdot \frac{1}{n^2}$$

Mit $v_n = \frac{1}{n} \frac{eze}{4\pi c_0 h}$ folgt, dass

$$\frac{v_n}{c} \geq 0,1 \quad \text{für: } \frac{1}{n} \frac{eze}{4\pi c_0 h} \geq 0,1$$

$$\Leftrightarrow 2 \geq \frac{n 4\pi c_0 h c}{e^2 z} \quad |_{n=1} \quad \begin{cases} n \\ n=1 \end{cases}$$

für $n=2, \dots$
 Geschwindigkeit kleiner OK

2) $\left(\begin{array}{c} \vdots \\ \vdots \\ \vdots \end{array} \right) \quad \oplus \quad n \geq 1$

$\left(\begin{array}{c} \vdots \\ \vdots \\ \vdots \end{array} \right) \quad \oplus \quad$ Thermische Energie bei Raumtemperatur:
 Mit $T = 293,15 \text{ K}$ und $E_{\text{th}} = \frac{3}{2} k_B T$
 folgt für f3 Freiheitsgrade:

$$E = \frac{3}{2} k_B T = 6,071 \cdot 10^{-21} \text{ J} = 0,038 \text{ eV} \quad \checkmark$$

$$E_n = -\frac{1}{2} \cdot \frac{1}{n^2} \cdot \frac{me^4 z^2}{h^2 (4\pi c_0)^2} = 6,071 \cdot 10^{-21} \text{ J} \quad |_{\text{es } n^2 = \frac{1}{2} \cdot \frac{me^4 z^2}{h^2 (4\pi c_0)^2} \approx 0,038 \text{ eV}}$$

$$\Rightarrow -1897 \Rightarrow n=10 \text{ da } 11 \quad \checkmark$$

$$= 358,04$$

Energie größer gleich der thermischen Energie. Bei $n=1$) wäre sie etwas zu klein.

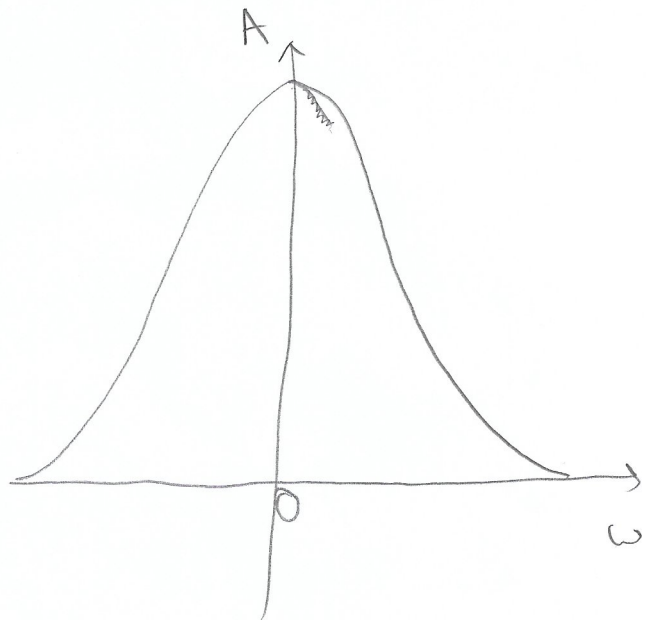
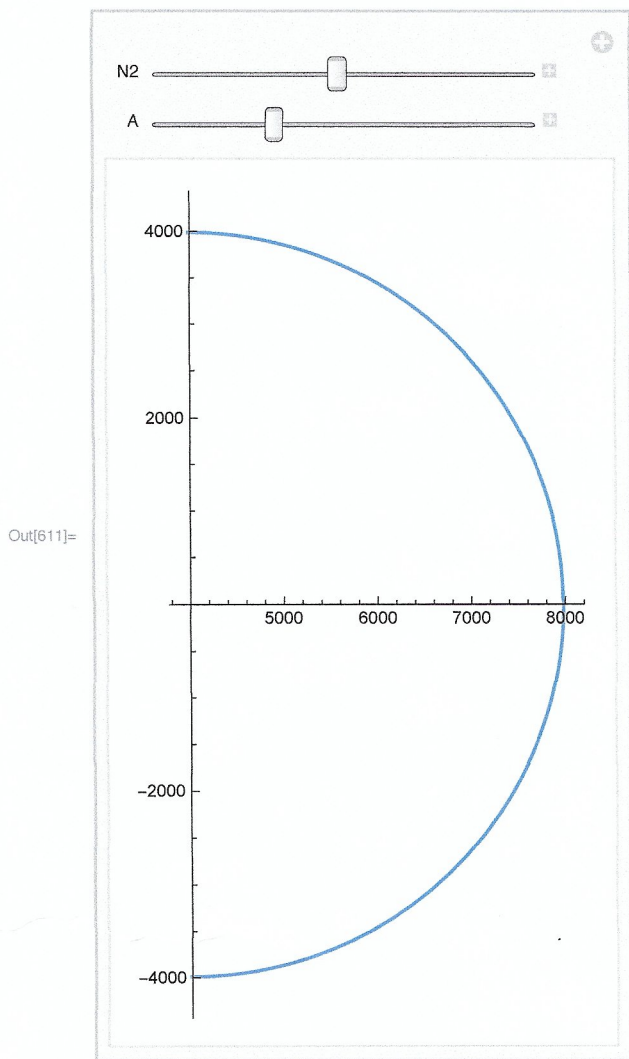
Dass die Bindungsenergie auf Schale 1g durch die thermische Energie aufgebracht werden kann, würde das Elektron sich wahrscheinlich vollständig vom Kern lösen und ionisiert werden. ✓

4/4

In[595]:=

$$F[w_, N2_, A_] := 1 / (\text{Sqrt}[2 * \text{Pi}]) * N2 / (A + i * w)$$

In[611]:= Manipulate[ParametricPlot[{Re[##], Im[##]} &@ F[w], {w, -50, 50}], {N2, 0, 800000}, {A, 0, 5000}]



Was auffallt ist, dass der Graph sich nicht merklich ändert für andere Werte von N_2 und A ...

Der Plot 'sollte' eine Lorentzkurve sein